

# 1 Алгоритм верификации состязательной устойчивости времени доставки сумки по отношению к эмбедингам вершин для всей конвейерной сети

## 1.1 Анализ графа сети

Данный алгоритм основывается на уже разработанном алгоритме верификации [1]. Можно выполнить верификацию на всех парах вершин в графе конвейерной сети, число которых равняется  $\binom{n}{2}$ , где  $n$  — размер графа. Но мы можем улучшить производительность алгоритма, минимизируя количество пар. Рассмотрим пример графа, представленный на рисунке 1.

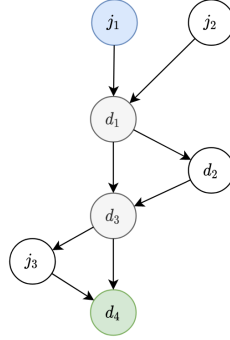


Рисунок 1 — Пример конвейерной сети

Мы считаем, что разделители хорошо обучены, поэтому сумка обычно движется по кратчайшему пути. Тогда если устойчивость для пары вершин  $(j_1, d_4)$  доказана, мы можем считать, что она соблюдается для суффиксов кратчайшего пути:  $(d_1, d_4), (d_3, d_4)$  — так как соответствующие нейронные сети будут получать одинаковые эмбединги на вход.

Задача поиска ожидаемого времени доставки параметризуется множеством разделителей, поэтому время доставки для исходной пары и для суффикса соответственно можно формализовать следующим образом:  $\{d_1, d_3\} \rightarrow t_{j_1}, \{d_3\} \rightarrow t_{d_3}$ . Задача для суффикса является подзадачей для исходной пары. Нам также следует учитывать, что если пара не является суффиксом, она может повторять задачу другой пары, как в случае с  $(j_1, d_4)$  и  $(j_2, d_4)$ .

Чтобы из множества пар, на которых необходимо запускать верификацию, исключить наибольшее число элементов, будем искать пару, которая имеет наибольший кратчайший путь и содержит наибольшее число суффиксов.

## 1.2 Описание алгоритма

Псевдокод алгоритма приведен в листинге 1.

Листинг 1 — Псевдокод алгоритма

```

1: procedure PAIRS( $g$ )
2:    $V \leftarrow \text{Nodes}(g)$ 
3:   for pair  $\in V^2$  do
4:      $p \leftarrow \text{DijkstraPath}(g, \text{pair})$ 
5:     if  $\exists p \wedge \text{diverter} \in p$  then
6:        $P \leftarrow p$ 
7:     end if
8:   end for
9:
10:  Sort( $P$ ) ▷ по возрастанию кол-ва узлов
11:  while  $P \neq \emptyset$  do
12:     $p \leftarrow \text{Pop}(P)$ 
13:    RemoveSuffixes( $P, p$ )
14:    pair  $\leftarrow (p[0], p[-1])$ 
15:    if Diverters(pair)  $\not\subset$  Diverters(WithSink(res,  $p[-1]$ )) then
16:      res  $\leftarrow$  pair
17:    end if
18:  end while
19:
20:  return res
21: end procedure
22:
23: procedure FULLEMBADVVERIF( $g$ )
24:   for  $p \in \text{Pairs}(g)$  do
25:      $m \leftarrow \text{CreateAbsorbingMC}(g, p[1])$  ▷ если конечный узел не
26:     ▷ является стоком, то необходимо
27:     ▷ удалить все его исходящие ребра
28:      $s \leftarrow \text{CreateEDTSolver}(m, p[0])$ 
29:     if NontrivDvtrs( $s$ ) =  $\emptyset$  then
30:       continue
31:     end if
32:
33:      $t_{\top} \leftarrow \text{BoundEstimation}(s)$ 
34:     for  $k \in (0.95, 0.99, 1.01, 1.05)$  do
35:        $t_b \leftarrow t_{\top} \cdot k$ 
36:       res  $\leftarrow \text{EmbAdvVerif}(t_b)$ 
37:     end for
38:   end for
39: end procedure

```

1. Для каждой пары узлов графа конвейерной сети находим кратчайший путь (4). Если путь существует и содержит хотя бы один разделитель, то сохраняем его (5–6).
2. Извлекаем самый длинный путь и удаляем все его суффиксы из множества найденных путей (10–13). Если множество разделителей данной пары не совпадает с каким-либо множеством разделителей сохраненных пар, которые имеют тот же сток, то сохраняем эту пару (14–

16).

3. Если найденная пара имеет нетривиальные разделители, то находим для нее оценку времени доставки и выполняем верификацию (24–36).

### 1.3 Результат работы

Результаты выполнения алгоритма приведены в таблице 1

Таблица 1 — Результат полной верификации сети

	$t_{\top}$	$t_b$	Вериф.	Прод., с
$o_1 \rightarrow d_7$	40.10	38.10	—	0.09
		39.70	—	0.19
		40.50	+	0.78
		42.11	+	0.52
$o_1 \rightarrow d_8$	50.10	47.60	—	0.09
		49.60	—	0.11
		50.60	+	0.74
		52.61	+	0.34
$o_1 \rightarrow i_0$	50.15	47.64	—	0.09
		49.65	—	0.11
		50.65	+	0.77
		52.66	+	0.53
$o_0 \rightarrow i_0$	40.20	38.19	—	0.10
		39.80	—	0.12
		40.60	+	0.94
		42.21	+	0.66
$o_0 \rightarrow i_1$	53.10	50.45	—	0.11
		52.57	—	0.11
		53.63	+	0.76
		55.76	+	0.41
$o_1 \rightarrow i_1$	43.25	41.09	—	0.15
		42.82	—	0.17
		43.68	+	2.85
		45.41	+	1.80
$o_1 \rightarrow i_2$	53.06	50.41	—	0.12
		52.53	—	0.16
		53.59	+	4.54
		55.71	+	1.64
$o_0 \rightarrow i_2$	53.07	50.42	—	0.09
		52.54	—	0.11
		53.60	+	0.63
		55.72	+	0.28

$o_1 \rightarrow i_3$	43.10	40.95	—	0.14
		42.67	—	0.17
		43.53	+	2.27
		45.26	+	1.45
$o_0 \rightarrow i_3$	43.15	40.99	—	0.10
		42.72	—	0.11
		43.58	+	0.91
		45.31	+	0.54
$d_3 \rightarrow i_3$	43.10	40.95	—	0.10
		42.67	—	0.12
		43.53	+	0.82
		45.26	+	0.56
$o_1 \rightarrow j_0$	30.10	28.60	—	0.09
		29.80	—	0.11
		30.40	+	0.89
		31.61	+	0.52

---

## Список литературы

- [1] Мультиагентные алгоритмы маршрутизации на основе глубоких нейронных сетей с подкреплением и их верификация. — Санкт-Петербург. — 2020. — 108 с.